# Погружные осевые насосы

Погружной насос для подачи чистой и неочищенной воды, речной воды, обработанной грязной воды и фекальных стоков (без грубых и длинноволокнистых включений), активного ила, промышленной и охлаждающей воды.

Широкий диапазон производительности. Лучшие характеристики и приспосабливаемость к изменяющимся требованиям системы с помощью ручного изменения угла установки лопасти рабочего колеса.

Большой срок службы и высокий КПД.

Компактность и соответственно небольшие затраты при подземном строительстве.

Минимальная стоимость обслуживания.

Низкий уровень шума при работе.

Трехфазный, асинхронный, герметичный мотор переменного тока, класс изоляции F, подходит для всех обычных электрических систем. Отвод тепла протекающей жидкостью с корпуса мотора.

Единый вал мотора и насоса. Антифрикционные подшипники увеличенного срока службы, смазаны на весь период работы и не требуют обслуживания.

Канализационное исполнение уплотнения. Два износостойких торцевых уплотнения, выполненных из карбида кремния и установленных в масляной камере.

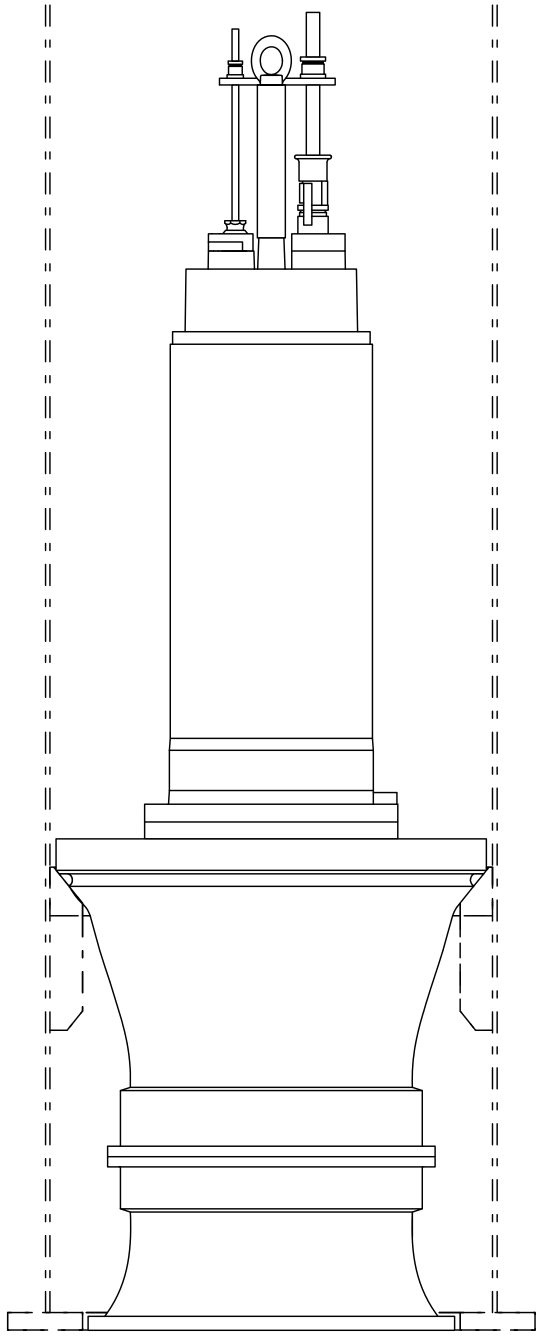

# Погружные осевые насосы

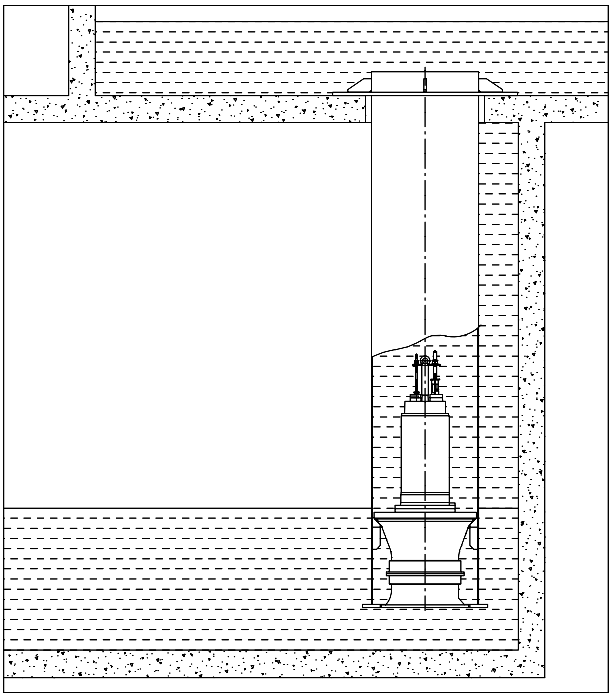

Схема монтажа для вертикальной подачи

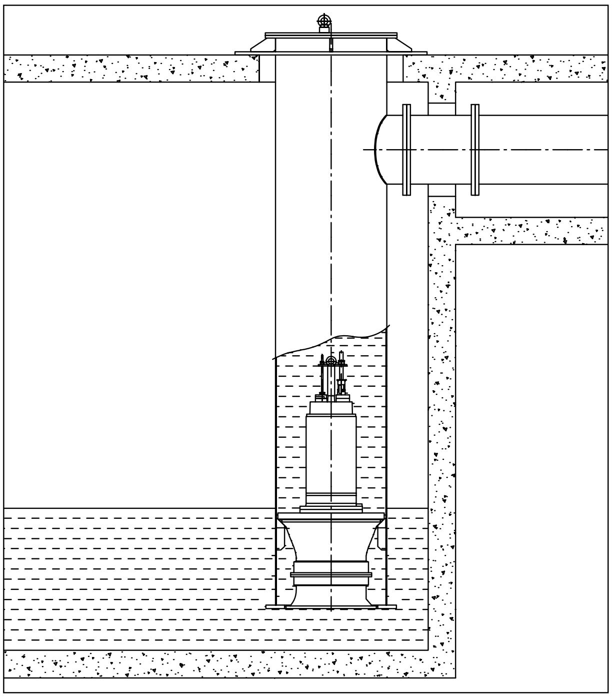

Схема монтажа для направленной подачи

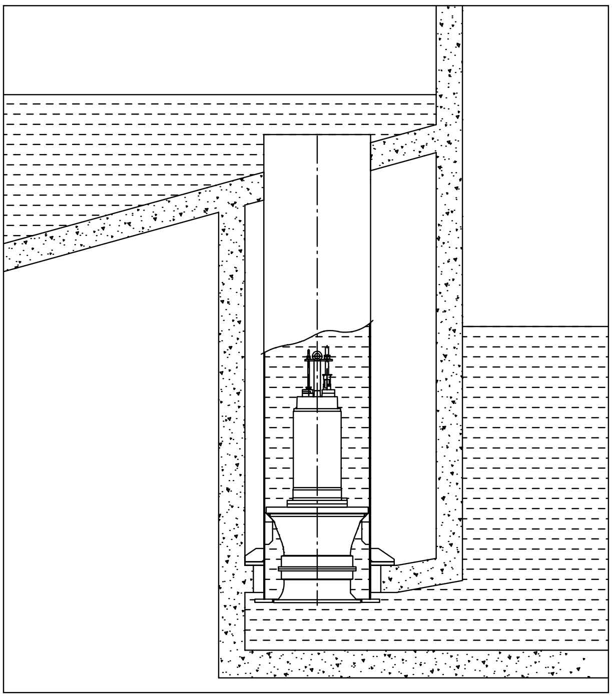

Схема монтажа в специальной камере

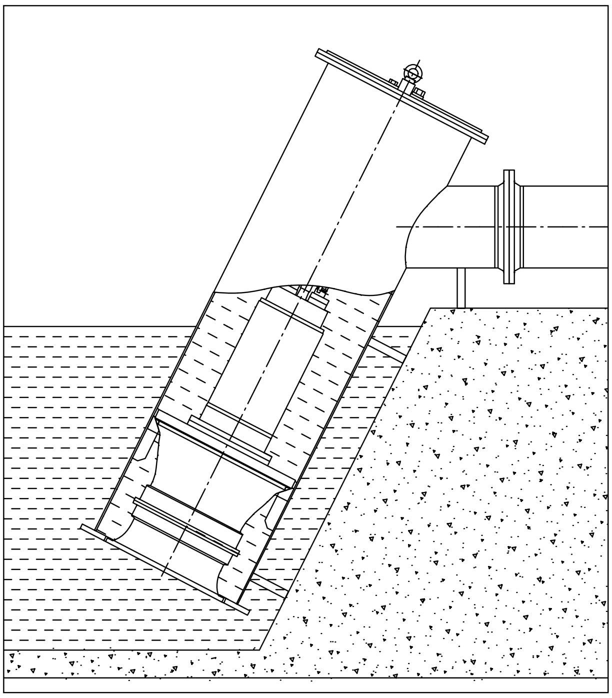

Схема наклонного монтажа

# Погружные осевые насосы

## 950 мин$^{-1}$
## KPR 340

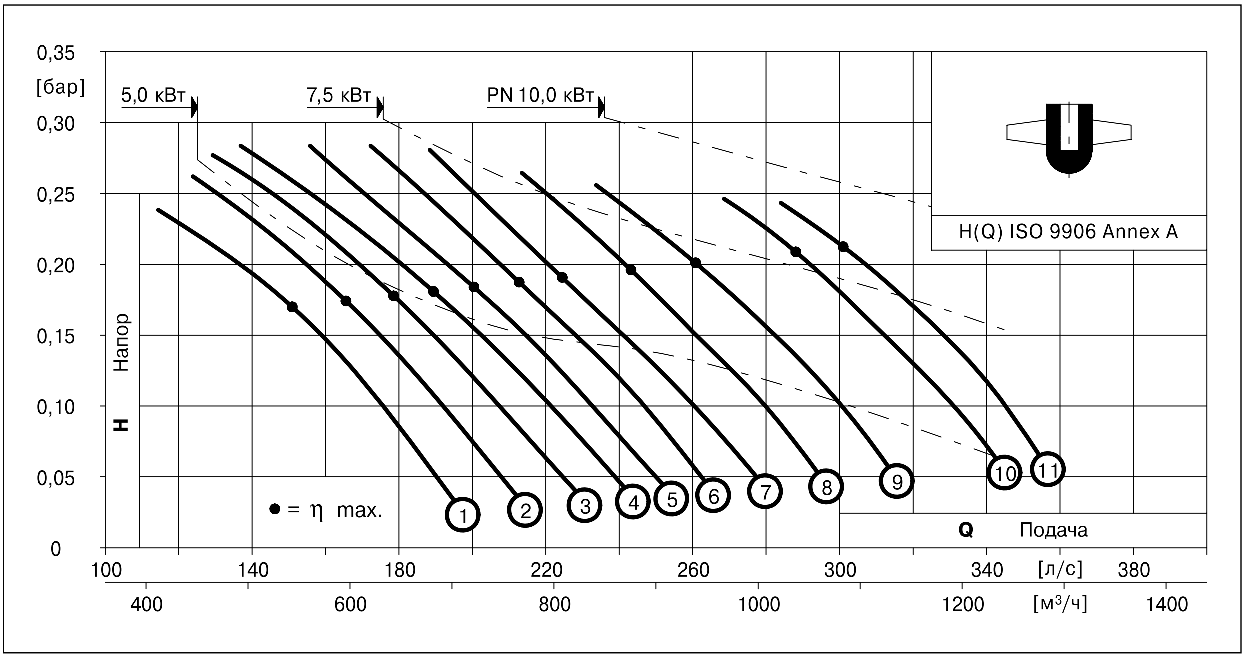


Выбор насоса

| Кривая | Тип насоса | Угол установки лопасти рабочего колеса | Вес [кг] |
|---|---|---|---|
| 1 | KPR 340 | 4 | 160 |
| 2 | KPR 340 | 5 | 160 |
| 3 | KPR 340 | 6 | 160 |
| 4 | KPR 340 | 7 | 160 |
| 5 | KPR 340 | 8 | 160 |
| 6 | KPR 340 | 9 | 160 |

| Кривая | Тип насоса | Угол установки лопасти рабочего колеса | Вес [кг] |
|---|---|---|---|
| 7 | KPR 340 | 10 | 160 |
| 8 | KPR 340 | 11 | 160 |
| 9 | KPR 340 | 12 | 160 |
| 10 | KPR 340 | 15 | 160 |
| 11 | KPR 340 | 16 | 160 |
| | | | |

Выбор мотора, см. график H–Q

| $P_N$ [кВт] | Мотор | $P_{auf}$ max [кВт] | $J_N$ 400 В [A] | L [мм] | L [ " ] | A [мм] | A [ " ] | Ex – см. раздел 1 | Вес [кг] |
|---|---|---|---|---|---|---|---|---|---|
| Погружная установка | | | | | | | | | |
| 5,0 | T 24-6/16P | 6,3 | 12,2 | 1460 | 57,48 | 953 | 37,52 | Atex | 140 |
| 7,5 | T 24-6/16P | 9,3 | 16,8 | 1460 | 57,48 | 953 | 37,52 | Atex | 140 |
| 10,0 | T 24-6/16P | 12,5 | 21,0 | 1460 | 57,48 | 953 | 37,52 | Atex | 140 |
| | | | | | | | | | |
| | | | | | | | | | |
| | | | | | | | | | |
| | | | | | | | | | |
| | | | | | | | | | |
| | | | | | | | | | |
| | | | | | | | | | |
| | | | | | | | | | |
| | | | | | | | | | |
| | | | | | | | | | |
| | | | | | | | | | |
| | | | | | | | | | |

# Погружные осевые насосы

950 мин$^{-1}$
KPR 340

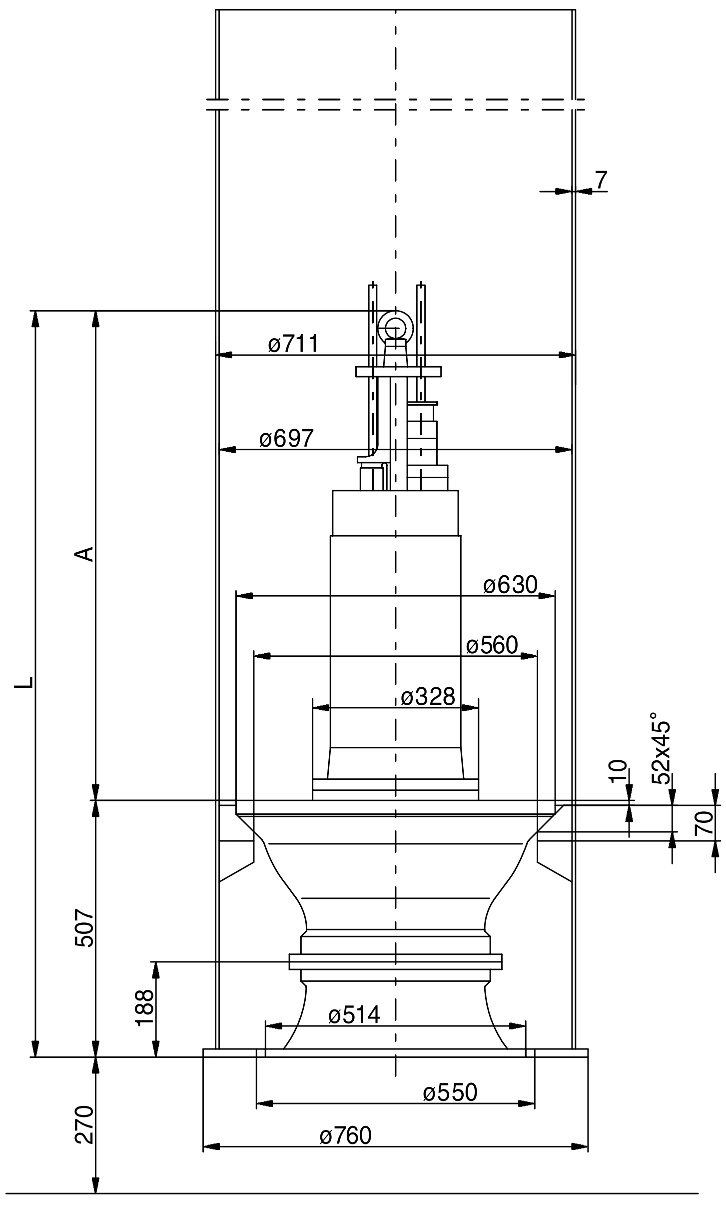

EMU

# Погружные осевые насосы

1450 мин$^{-1}$
KPR 340

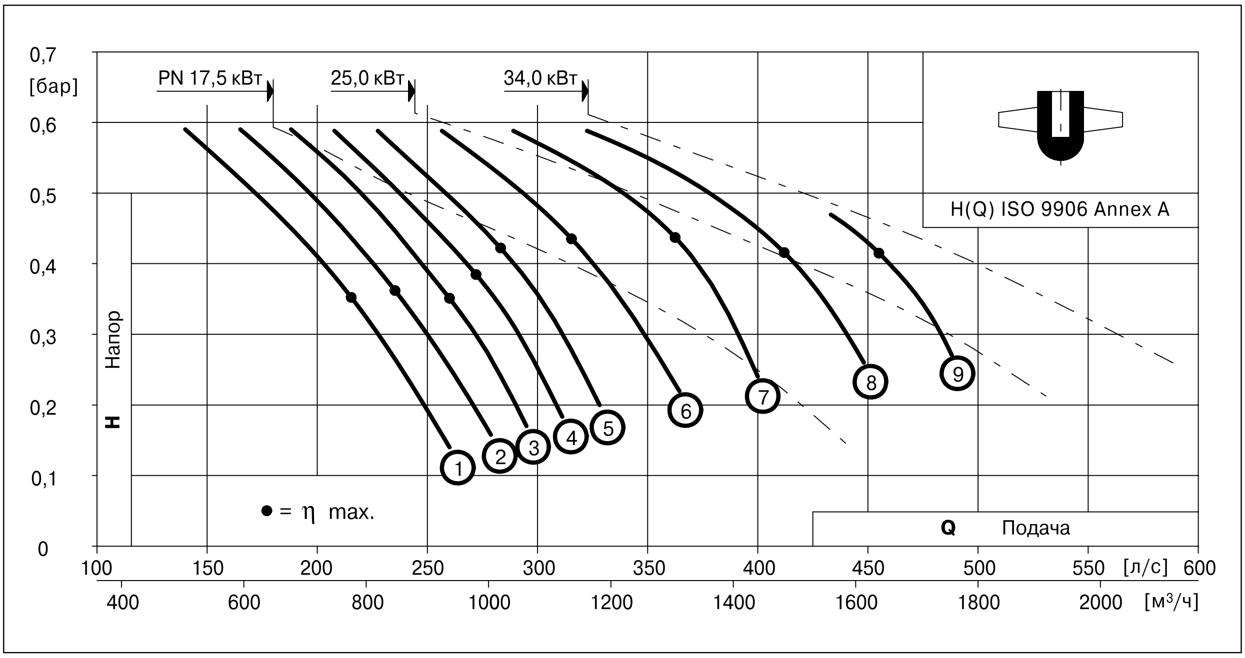


Выбор насоса

| Кривая | Тип насоса | Угол установки лопасти рабочего колеса | Вес [кг] |
|---|---|---|---|
| 1 | KPR 340 | 4 | 160 |
| 2 | KPR 340 | 5 | 160 |
| 3 | KPR 340 | 6 | 160 |
| 4 | KPR 340 | 7 | 160 |
| 5 | KPR 340 | 8 | 160 |
| 6 | KPR 340 | 10 | 160 |

| Кривая | Тип насоса | Угол установки лопасти рабочего колеса | Вес [кг] |
|---|---|---|---|
| 7 | KPR 340 | 12 | 160 |
| 8 | KPR 340 | 14 | 160 |
| 9 | KPR 340 | 16 | 160 |
| | | | |
| | | | |
| | | | |

Выбор мотора, см. график H–Q

| $P_N$ [кВт] | Мотор | $P_{auf}$ max [кВт] | $J_N$ 400 В [A] | L [мм] | L [ " ] | A [мм] | A [ " ] | Ex – см. раздел 1 | Вес [кг] |
|---|---|---|---|---|---|---|---|---|---|
| Погружная установка | | | | | | | | | |
| 17,5 | T 24-4/21P | 20,5 | 35,5 | 1460 | 57,48 | 953 | 37,52 | Atex | 155 |
| 25,0 | T 24-4/29P | 28,5 | 49,5 | 1525 | 60,04 | 1018 | 40,08 | Atex | 190 |
| 34,0 | T 24-4/36P | 39,0 | 68,0 | 1595 | 62,80 | 1088 | 42,83 | Atex | 215 |
| | | | | | | | | | |
| | | | | | | | | | |
| | | | | | | | | | |
| | | | | | | | | | |
| | | | | | | | | | |
| | | | | | | | | | |
| | | | | | | | | | |
| | | | | | | | | | |
| | | | | | | | | | |
| | | | | | | | | | |
| | | | | | | | | | |
| | | | | | | | | | |

EMU

# Погружные осевые насосы

1450 мин$^{-1}$
KPR 340

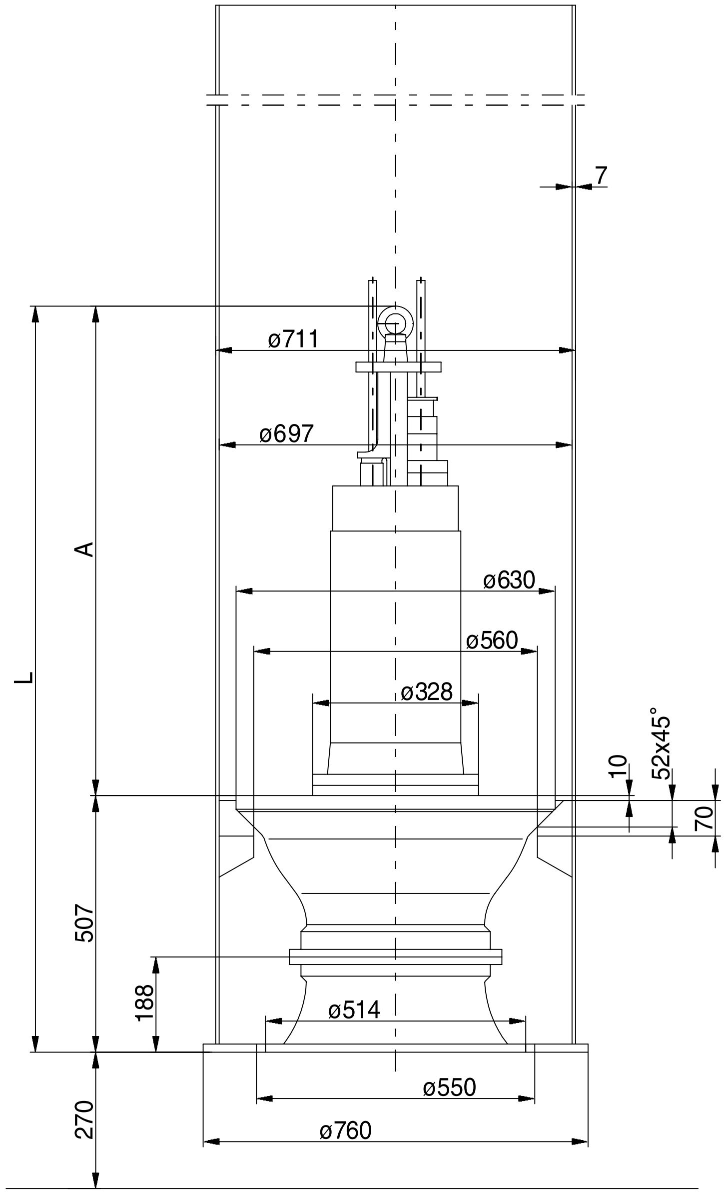

# Погружные осевые насосы

740 мин$^{-1}$
KPR 500

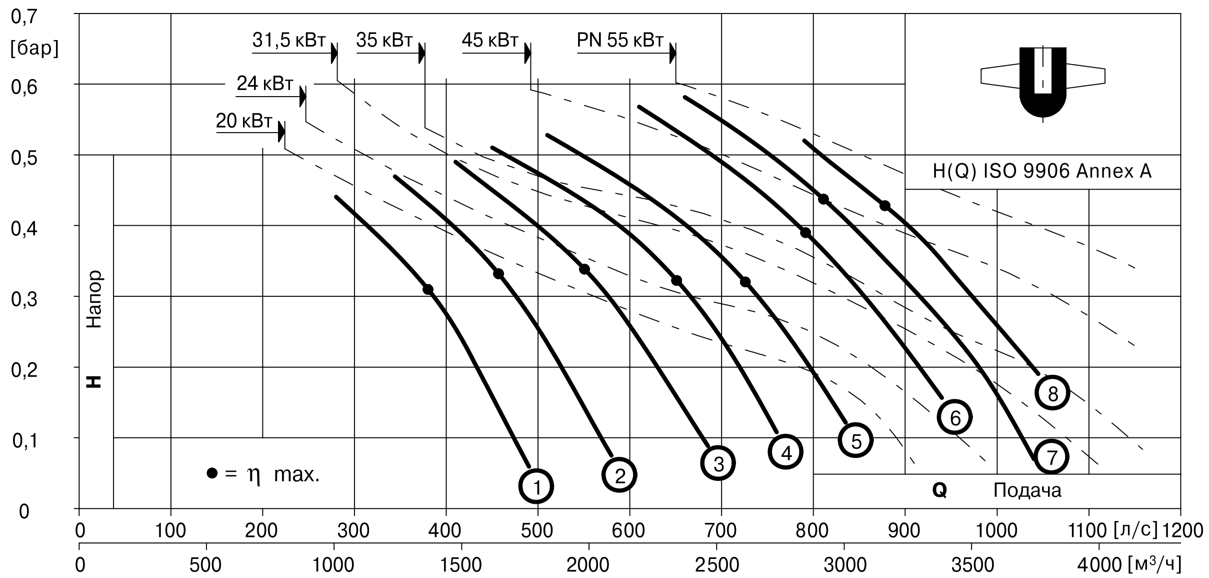


Выбор насоса

| Кривая | Тип насоса | Угол установки лопасти рабочего колеса | Вес [кг] |
|---|---|---|---|
| 1 | KPR 500 | 4 | 385 |
| 2 | KPR 500 | 6 | 385 |
| 3 | KPR 500 | 8 | 385 |
| 4 | KPR 500 | 10 | 385 |
| 5 | KPR 500 | 12 | 385 |
| 6 | KPR 500 | 14 | 385 |

| Кривая | Тип насоса | Угол установки лопасти рабочего колеса | Вес [кг] |
|---|---|---|---|
| 7 | KPR 500 | 16 | 385 |
| 8 | KPR 500 | 18 | 385 |
| 9 | KPR 500 | 20 | 385 |
| | | | |
| | | | |
| | | | |

Выбор мотора, см. график H–Q

| $P_N$ [кВт] | Мотор | $P_{auf}$ max [кВт] | $J_N$ 400 В [А] | L [мм] | L [ " ] | A [мм] | A [ " ] | Ex – см. раздел 1 | Вес [кг] |
|---|---|---|---|---|---|---|---|---|---|
| Погружная установка | | | | | | | | | |
| 20,0 | T 30-8/29P | 23,0 | 42,5 | 1729 | 68,07 | 1022 | 40,24 | Atex | 330 |
| 24,0 | T 30-8/35P | 27,5 | 51,0 | 1789 | 70,43 | 1082 | 42,60 | Atex | 364 |
| 31,5 | T 30-8/45P | 36,0 | 67,0 | 1879 | 73,98 | 1172 | 46,14 | Atex | 415 |
| 40,0 | T 30-8/57P | 45,5 | 85,0 | 1989 | 78,31 | 1282 | 50,47 | Atex | 478 |
| 45,0 | T 34-8/41P | 52,0 | 93,0 | 1863 | 73,35 | 1156 | 45,51 | Atex | 478 |
| 55,0 | T 34-8/50P | 62,0 | 111,0 | 1933 | 76,10 | 1226 | 48,27 | Atex | 544 |
| | | | | | | | | | |
| | | | | | | | | | |
| | | | | | | | | | |
| | | | | | | | | | |
| | | | | | | | | | |
| | | | | | | | | | |
| | | | | | | | | | |
| | | | | | | | | | |
| | | | | | | | | | |

# Погружные осевые насосы

740 мин$^{-1}$
KPR 500

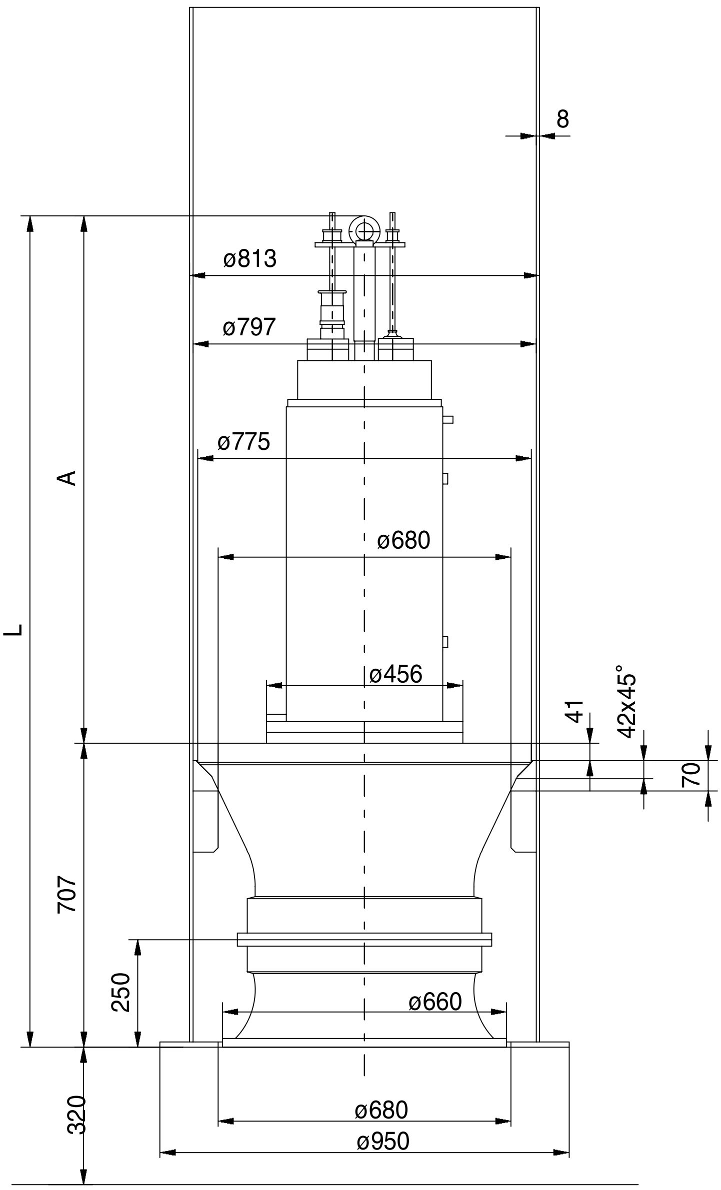

# Погружные осевые насосы

## 950 мин$^{-1}$
## KPR 500

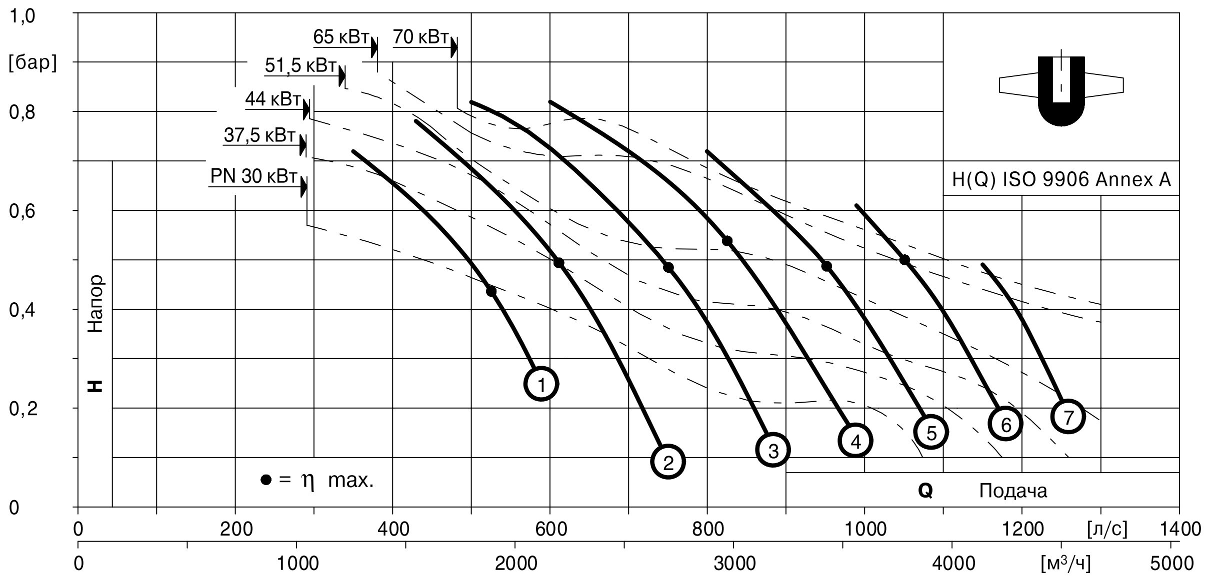


Выбор насоса

| Кривая | Тип насоса | Угол установки лопасти рабочего колеса | Вес [кг] |
|---|---|---|---|
| 1 | KPR 500 | 4 | 385 |
| 2 | KPR 500 | 6 | 385 |
| 3 | KPR 500 | 8 | 385 |
| 4 | KPR 500 | 10 | 385 |
| 5 | KPR 500 | 12 | 385 |
| 6 | KPR 500 | 14 | 385 |

| Кривая | Тип насоса | Угол установки лопасти рабочего колеса | Вес [кг] |
|---|---|---|---|
| 7 | KPR 500 | 16 | 385 |
| | | | |
| | | | |
| | | | |
| | | | |
| | | | |

Выбор мотора, см. график H–Q

| $P_N$ [кВт] | Мотор | $P_{auf}$ max [кВт] | $J_N$ 400 В [А] | L [мм] | L [ " ] | A [мм] | A [ " ] | Ex – см. раздел 1 | Вес [кг] |
|---|---|---|---|---|---|---|---|---|---|
| Погружная установка | | | | | | | | | |
| 30,0 | T 30-6/28P | 34,0 | 60,0 | 1729 | 68,07 | 1022 | 40,24 | Atex | 324 |
| 37,5 | T 30-6/35P | 42,5 | 75,0 | 1789 | 70,043 | 1082 | 42,60 | Atex | 364 |
| 44,0 | T 30-6/41P | 49,5 | 88,0 | 1879 | 73,98 | 1172 | 46,14 | Atex | 395 |
| 51,5 | T 30-6/48P | 58,0 | 102,0 | 1989 | 78,31 | 1282 | 50,47 | Atex | 431 |
| 65,0 | T 34-6/41P | 70,0 | 151,0 | 1863 | 73,35 | 1156 | 45,51 | Atex | 478 |
| 70,0 | T 34-6/50P | 78,0 | 136,0 | 1933 | 76,10 | 1226 | 48,27 | Atex | 544 |
| | | | | | | | | | |
| | | | | | | | | | |
| | | | | | | | | | |
| | | | | | | | | | |
| | | | | | | | | | |
| | | | | | | | | | |
| | | | | | | | | | |
| | | | | | | | | | |
| | | | | | | | | | |

EMU

# Погружные осевые насосы

950 мин$^{-1}$
KPR 500

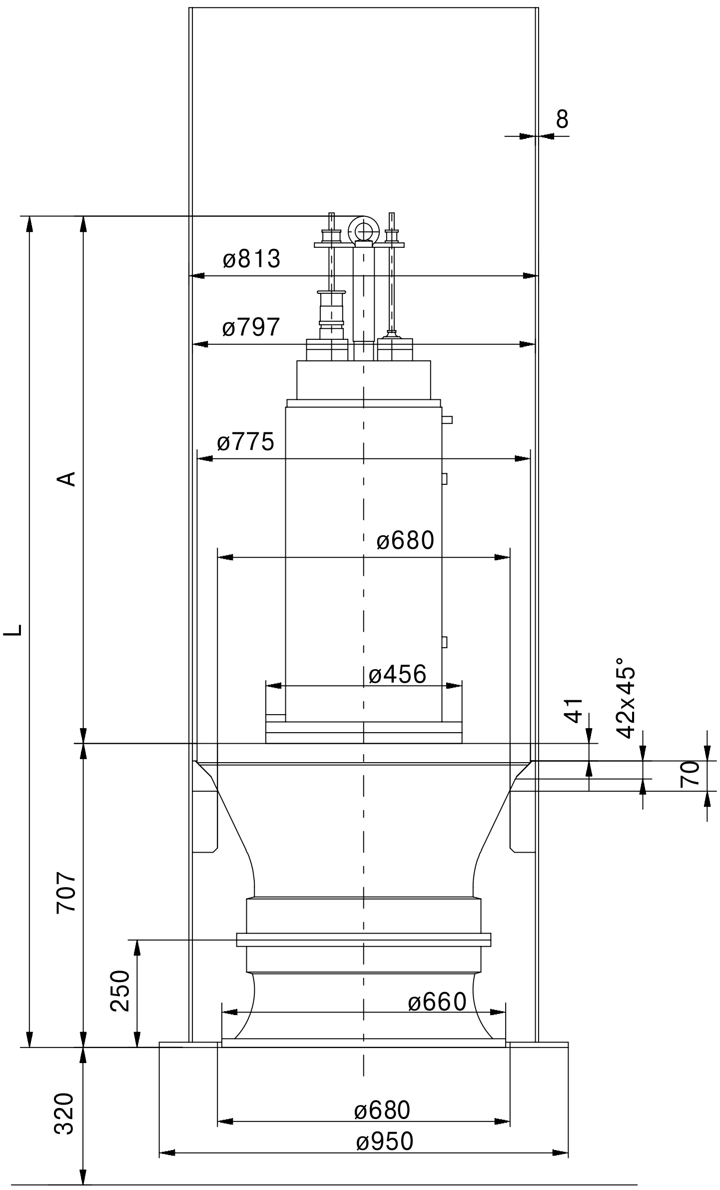

# Погружные осевые насосы

## 585 мин$^{-1}$ KPR 760

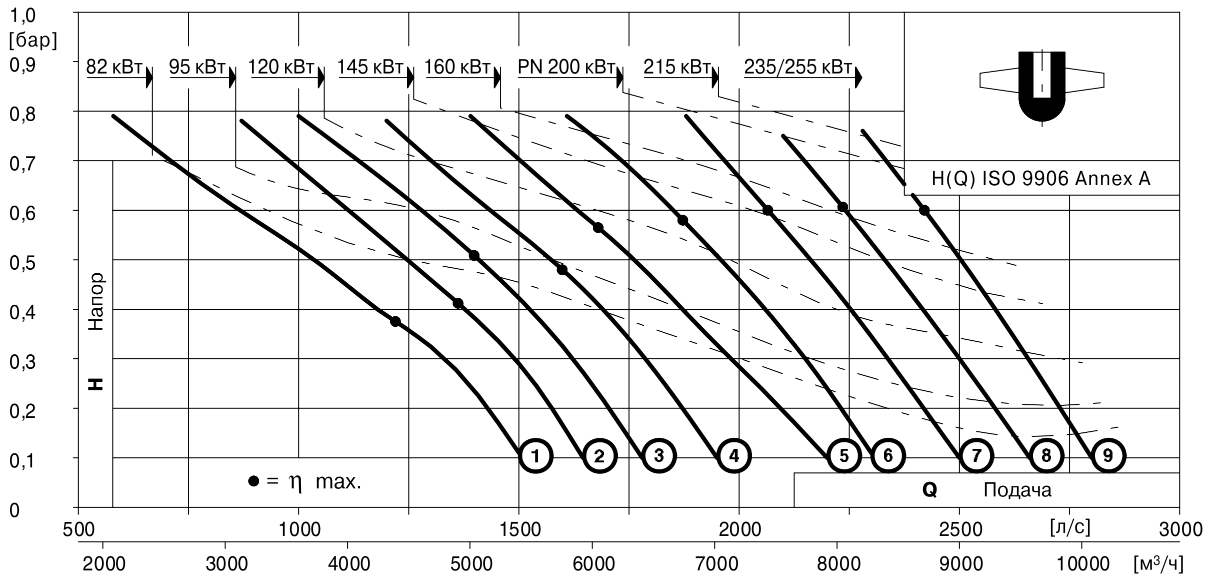


Выбор насоса

| Кривая | Тип насоса | Угол установки лопасти рабочего колеса | Вес [кг] |
|---|---|---|---|
| 1 | KPR 760 | 6 | 1050 |
| 2 | KPR 760 | 8 | 1050 |
| 3 | KPR 760 | 10 | 1050 |
| 6 | KPR 760 | 12 | 1050 |
| 5 | KPR 760 | 14 | 1050 |
| 6 | KPR 760 | 16 | 1050 |
| 7 | KPR 760 | 18 | 1050 |
| 8 | KPR 760 | 20 | 1050 |
| 9 | KPR 760 | 22 | 1050 |

Выбор мотора, см. график H–Q

| $P_N$ [кВт] | Мотор | $P_{auf}$ max [кВт] | $J_N$ 400 В [A] | L [мм] | L [ " ] | A [мм] | A [ " ] | Ex – см. раздел 1 | Вес [кг] |
|---|---|---|---|---|---|---|---|---|---|
| Погружная установка | | | | | | | | | |
| 82 | T 49-10/30P | 89,0 | 160,0 | 2825 | 111,22 | 1798 | 70,79 | — | 1315 |
| 95 | T 49-10/36P | 102,0 | 184,0 | 2885 | 113,58 | 1858 | 73,15 | — | 1405 |
| 120 | T 49-10/43P | 129,0 | 235,0 | 2955 | 116,34 | 1928 | 75,91 | — | 1505 |
| 145 | T 49-10/53P | 155,0 | 280,0 | 3055 | 120,28 | 2028 | 79,84 | — | 1655 |
| 160 | T 49-10/58P | 171,0 | 310,0 | 3105 | 122,24 | 2078 | 81,81 | — | 1730 |
| 200 | T 56-10/53P | 215,0 | 380,0 | 3050 | 120,08 | 2023 | 79,65 | Atex | 1750 |
| 215 | T 56-10/58P | 230,0 | 405,0 | 3100 | 122,05 | 2073 | 81,61 | Atex | 1850 |
| 235 | T 56-10/64P | 250,0 | 445,0 | 3160 | 124,41 | 2133 | 83,98 | Atex | 1965 |
| 255 | T 56-10/70P | 270,0 | 480,0 | 3220 | 126,77 | 2193 | 86,34 | Atex | 2080 |

EMU

# Погружные осевые насосы

585 мин$^{-1}$
KPR 760